





ICE TRANSLUCENT

ZrO ₂	Hauptbestandteil	
Y ₂ O ₃	4 – 6 %	
Al ₂ O ₃	max. 1 %	
SiO ₂	max. 0,02 %	
Fe ₂ O ₃	max. 0,01 %	
Na ₂ O	max. 0,04 %	
Dichte	~ 6 g/cm ³	
Biegefestigkeit	1200 – 1400 MPa	
Vickershärte (HV10)	1250 HV10	
Weibull-Modul	~ 15	
Wärmeausdehnungskoeffizient (25 – 500 °C)	~ 10,6 *10 ⁻⁶ K ⁻¹	


ZrO ₂	Componente principale	
Y ₂ O ₃	4 – 6 %	
Al ₂ O ₃	max. 1 %	
SiO ₂	max. 0,02 %	
Fe ₂ O ₃	max. 0,01 %	
Na ₂ O	max. 0,04 %	
Densità	~ 6 g/cm ³	
Resistenza alla flessione	1200 – 1400 MPa	
Durezza Vickers (HV10)	1250 HV10	
Modulo Weibull	~ 15	
Coefficiente di espansione termica (25 – 500 °C)	~ 10,6 *10 ⁻⁶ K ⁻¹	

ICE TRANSLUCENT

ZrO ₂	Main component	
Y ₂ O ₃	4 – 6 %	
Al ₂ O ₃	max. 1 %	
SiO ₂	max. 0.02 %	
Fe ₂ O ₃	max. 0.01 %	
Na ₂ O	max. 0.04 %	
Density	~ 6 g/cm ³	
Flexural strength	1200 – 1400 MPa	
Vickers hardness (HV10)	1250 HV10	
Weibull-modulus	~ 15	
Coefficient of thermal expansion (25 – 500 °C)	~ 10,6 *10 ⁻⁶ K ⁻¹	

ZrO ₂	Composant principal	
Y ₂ O ₃	4 – 6 %	
Al ₂ O ₃	max. 1 %	
SiO ₂	max. 0,02 %	
Fe ₂ O ₃	max. 0,01 %	
Na ₂ O	max. 0,04 %	
Densité	~ 6 g/cm ³	
Résistance à la flexion	1200 – 1400 MPa	
Dureté Vickers (HV10)	1250 HV10	
Module de Weibull	~ 15	
Coefficient de dilatation thermique (25 – 500 °C)	~ 10,6 *10 ⁻⁶ K ⁻¹	

ICE TRANSLUCENT

ZrO ₂	Componente principal	
Y ₂ O ₃	4 – 6 %	
Al ₂ O ₃	max. 1 %	
SiO ₂	max. 0,02 %	
Fe ₂ O ₃	max. 0,01 %	
Na ₂ O	max. 0,04 %	
Densidad	~ 6 g/cm ³	
Resistencia a la flexión	1200 – 1400 MPa	
Dureza Vickers (HV10)	1250 HV10	
Módulo de Weibull	~ 15	
Coefficiente de dilatación térmica (25 – 500 °C)	~ 10,6 *10 ⁻⁶ K ⁻¹	